

## コンクリートの支圧強度に対する補強効果について

神戸大学 工学部 正員 藤井 学  
 フ 大学院 学生員。鍋野幹夫  
 フ 工学部 正員 宮本文徳

## 1. はじめに

コンクリートの支圧強度に対する補強効果（いは補強した場合としない場合との支圧強度または破壊荷重の比）は、既報<sup>1)2)</sup>より、近似的に次式で表わされる。（記号は図-1 参照）

$$\alpha = 1 + \left( -\frac{1}{\sigma_{t0}} E_s E_t \left( \frac{\rho}{T_2} \right) \left( \frac{r_c}{p} \right)^2 \right) \quad \text{--- --- ①}$$

$$\alpha = \frac{\rho}{T_2} + \left( -\frac{\sigma_{sy}}{\sigma_{t0}} \right) \frac{r_c}{p} \quad \text{--- --- ②}$$

$$\alpha = \left( \frac{r_c}{T_1} \right) \frac{\rho}{T_2} \quad \text{--- --- ③}$$

本研究は、これらの理論式の妥当性、さらには、合理的な補強方法について検討するための基礎的研究である。

## 2. 実験概要

供試体は、すべて中20×高40cmの円柱コンクリートを用い、圧縮強度は、250kg/cm<sup>2</sup>を目標とした。支圧板は、直径2T<sub>1</sub>=5cm、7.5cm、10cmの3種類で、各支圧板とも厚さは2cmである。ラセン鉄筋は、中=4.2mm、5.0mm、6.0mmの3種類を用いた。その機械的性質は、表-1に併記する。ラセン鉄筋のピッチ(t)は、3種類とも1.8cmとし、巻き径(2P)は、r<sub>c</sub><P<r<sub>s</sub>の範囲で種々適当に変化させた。また、配置範囲(l)は、支圧板5cmおよび7.5cmに対しては20cm、10cmに対しては25cmとした。実験では、各々の支圧板について、無筋供試体の破壊荷重と補強供試体の破壊荷重との比(α)を求めた。

## 3. 実験結果および考察

図-2、-3、-4は、実験値（●印は2T<sub>1</sub>=5cm、○印は2T<sub>1</sub>=7.5cm、○印は2T<sub>1</sub>=10cmの場合）をプロットしたものである。また、表-1の数値を用いた理論式①、②、③を破線で示す（ただし、コンクリートの最終引張ひずみε<sub>t0</sub>=150×10<sup>-6</sup>と仮定）。実験による補

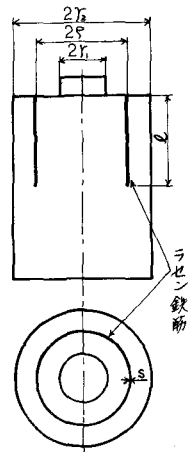


図-1

表-1

ラセン鉄筋				コンクリート	
直 径 中 (cm)	S* (cm)	降伏点応力σ <sub>sy</sub> (kg/cm <sup>2</sup> )	引張強度 (kg/cm <sup>2</sup> )	ヤング率E <sub>s</sub> (kg/cm <sup>2</sup> )	引張強度(%) (kg/cm <sup>2</sup> )
4.2	0.077	2410	3390	2.1×10 <sup>6</sup>	24.7
5.0	0.109	1360	2890		19.9
6.0	0.157	1850	3320		18.5
※ ; S = $\frac{\pi d^2}{4t}$ より求めた				正味強度(%) (kg/cm <sup>2</sup> )	
※※ ; 残留ひずみ 0.2% の応力度				270	
				249	
				247	

\* ; S =  $\frac{\pi d^2}{4t}$  より求めた  
※※ ; 残留ひずみ 0.2% の応力度

強効果は、ラセン鉄筋の巻き径が同じであれば、 $2T_1 = 10\text{cm}$  を用いた場合と、 $2T_1 = 5\text{cm}$ 、 $7.5\text{cm}$  を用いた場合よりも低くなっています。また、式①、②による補強効果と、実験値よりも高い値を算定しているか、これら2式の誘導過程では、ラセン鉄筋位置でのコンクリートとラセン鉄筋との同一ムすみを生じると仮定しており、ラセン鉄筋の入り込みによる影響が生じる、さらには、破壊についての種々の要因等についても検討しなければならぬ。ここでは、係数  $k_1$ 、 $k_2$  を用いてそれらの要因を考慮するとし、式①、②を次のようく表わす。

$$\alpha = 1 + k_1 \left( -\frac{1}{E_{t0}} \right) E_s E_{t0} \frac{S}{T_2} \left( \frac{T_2}{S} \right)^2 \quad \text{--- ①'}$$

$$\alpha = \frac{\rho}{T_2} + k_2 \left( -\frac{E_{s1}}{E_{t0}} \right) \frac{S}{T_2} \quad \text{--- ②'}$$

ラセン鉄筋  $\phi = 4.2\text{mm}$ 、 $5.0\text{mm}$  を用いた場合の実験値と上式とを比較すると、実線で示すよう  $k_1 = 0.33$ 、 $k_2 = 0.90$  となり、いずれの場合もほぼ同一の値が採用できると考えられる。これに対して  $\phi = 6.0\text{mm}$  を用いた場合は、過度に補強した場合と考えられ、図-5 のような破壊形式を想定し、式③と用いると図-4 の破線のようになります。この場合の解析方法については、さらに検討すれば存らぬ。

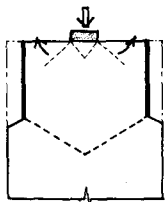


図-5

#### 4. まとめ

本実験では、 $\phi = 20 \times 40\text{cm}$  供試体を使用したが、現在  $40 \times 60\text{cm}$  供試体について実験中であり、供試体の大きさ、さらには、補強のパラメータ ( $\Omega_{sy}$ -S) の変化による係数  $k_1$ 、 $k_2$  の実験的再検討が必要である。

参考文献 1) 藤井、"支圧強度に対する補強効果の理論的考察"、土木学会第26回年次学術講演集、昭46.10

